

نشریه تحقیقات کاربردی علوم جغرافیایی سال هجدهم، شماره ۴۹، تابستان ۹۷

## تحلیل شیب و آزیموت بهینه برای نصب پنل فتوولتاییک براساس تابش دریافتی خورشید در شهرستان کاشان

دریافت مقاله: ۹۶/۷/۹ پذیرش نهایی: ۹۶/۱۲/۱۱

صفحات: ۵۹-۷۴

علیرضا رحیمی: استادیار پژوهشکده انرژی دانشگاه کاشان.<sup>۱</sup>

rahimi2@kashanu.ac.ir

علیرضا کربلائی درئی : دانشجوی دکتری اقلیم شناسی دانشگاه خوارزمی تهران.

karbalae20@gmail.com

محمد رضا کربلائی: دانشجوی کارشناسی ارشد لیزر دانشگاه شهید بهشتی تهران.

karbalae30@gmail.com

### چکیده

هدف از پژوهش حاضر، تعیین راستای استقرار و شیب بهینه برای نصب پنل فتوولتاییک در شهرستان کاشان می باشد که برای این منظور با استفاده از موقعیت جغرافیایی منطقه، روابط و مدل فیزیکی Masters Gilbert تابش دریافتی خورشید بر سطح پنل، محاسبه شد، نتایج این پژوهش نشان میدهد که میزان تابش دریافتی بر سطح کلکتور در راستای جنوب و در شیب های مختلف، در ۶۴ درصد از مواقع سال، بیشتر از تابش روی سطح پنل نصب شده در راستای جنوب شرق یا غرب با زاویه شیب های مختلف است. بیشترین میزان تابش در آزیموت رو به جنوب در شیب ۳۰ و ۴۰ درجه می باشد، آزیموت جنوب شرقی- غربی (۳۰ درجه) تقریباً شبیه به آزیموت جنوب است و تنها در راستای جنوب شرقی- غربی، در فصل تابستان، شیب های نزدیک به قائم، تابش بیشتری نسبت به جنوب دریافت می کنند. میزان تابش دریافتی بر سطح پنل در راستای جنوب شرقی- غربی (آزیموت ۶۰ درجه) در شیب های مختلف در ۸۷ درصد از موقع سال بیشتر از تابش روی سطح پنل نصب شده در راستای شرق یا غرب (آزیموت ۹۰ درجه) با زاویه شیب های مختلف است. با مقایسه نتایج، مشخص می شود که راستای نصب پنل فتوولتاییک هر چه از جنوب به سمت شرق یا غرب تغییر کند، شدت تابش در روزهای سال کاهش بیشتری خواهد داشت، بیشترین بازدهی تولید انرژی فتوولتاییک در شهرستان کاشان در راستای رو به جنوب، و با زاویه نصب پنل فتوولتاییک ۳۰ درجه نسبت به خط افق می باشد. همچنین مناسب ترین شیب برای نصب پنلها بین ۳۰ تا ۴۰ درجه، نسبت به سایر شیب ها به دست آمد.

کلیدواژگان: شیب، آزیموت، تابش خورشیدی، کاشان .

۱. مسئول مقاله: کاشان، دانشگاه کاشان، پژوهشکده انرژی.

**مقدمه**

مجموع نیاز انرژی جهان در دهه هشتاد به ۷,۵ میلیارد کیلو وات و در سالهای اخیر به بیش از ۱۰ میلیارد کیلو وات در سال رسیده است که روند صد سال گذشته آن افزایشی در حدود ۲ درصد نشان می‌دهد. این در حالیست که تنها اگر ۰,۱ از بیابان‌های جهان مجهز به نیروگاه‌های حرارتی خورشیدی شوند همین مقدار برای تولید برق سالانه مورد تقاضای جهان کافیست(اشاره، ۱۳۸۵: ۴۵). تابش خورشیدی یکی از این‌مترین، مؤثرترین و اقتصادی‌ترین منابع انرژی است که پتانسیل تبدیل شدن به منبع اصلی انرژی در آینده نه چندان دور را دارد. انرژی تابش خورشیدی طی مسیر خود تا رسیدن به سطح کره زمین، تحت تاثیر شرایط جوی زمین و حرکت نسبی زمین و خورشید تغییر می‌کند. از این رو در هر موقعیت جغرافیایی روی کره زمین، زاویه تابش خورشیدی دریافت شده، در روزهای مختلف سال و در طول روز متفاوت است. مقدار انرژی خورشیدی رسیده به واحد سطح در واحد زمان، شدت تابش خورشیدی نامیده می‌شود، که در سیستم آحاد بین‌المللی، واحد آن وات بر مترمربع می‌باشد. آگاهی از میزان شدت تابش خورشیدی در هر منطقه، به منظور بررسی میزان کارایی انواع سیستم‌های خورشیدی، ضروری است(سلیمان ریزی و همکاران، ۱۳۹۶: ۱۶). برآورد و تخمین اشتباه میزان تابش دریافتی بزرگترین ریسک در یک نیروگاه فتوولتایک است. استفاده بهینه از انرژی خورشیدی نیازمند مکانیابی دقیق نیروگاه خورشیدی است(دینسر، ۲۰۰۰: ۱۵۷). در نبود دستگاه‌های اندازه‌گیری، اطلاعات صحیح و دقیقی از میزان انرژی خورشیدی در دسترس نیست و از طرفی میزان خطاب در دستگاه‌های اندازه‌گیری، گاهی به ۳۰ درصد نیز می‌رسد، که مهمترین علت آن عدم کالیبراسیون دستگاه‌ها و وجود گردوغبار در آن‌ها است(سلیمان ریزی و همکاران، ۱۳۹۶: ۱۷)، بنابر این می‌توان گفت مدل‌های تجربی که بر پایه برآورد انرژی خورشیدی طراحی شده‌اند، در نبود دستگاه‌های اندازه‌گیری می‌تواند مفید واقع شود(معینی و همکاران، ۱۳۸۹: ۲).

روابط خطی از گونه آنگستروم ضریب خاموشی و کدورت اتمسفر را در نظر نمی‌گیرد. لذا این رابطه مناسب ترین و عام ترین رابطه‌ای است که استحکام خود را برای کاربرد نقاط مختلف دنیا تاکنون حفظ کرده است. برای برآورد تابش روش‌های مختلفی وجود دارد، برخی بر اساس مولفه‌ی تابش مستقیم و پراکنده هستند. در برآورد این دو مولفه عوامل فیزیکی شامل پدیده‌های جوی و ضریب ابر به جهت عبور اشعه خورشید از جو به زمین و دخالت دارند. در مدل‌هایی دیگری بارش و رطوبت نسبی و دمای هوا در محاسبات افزوده اند. از معایب این مدل‌ها وابستگی ضرایب تجربی آنگستروم بر پایه پارامترهای جغرافیایی و اقلیمی است که نیاز به عوامل هواشناسی، مانند ساعت آفتابی، دما، و رطوبت دارند و اینکه در اغلب آن‌ها تابش کلی روزانه روی سطح افقی محاسبه می‌شود. همچنین برای یک شهر یا مکان خاص کاربرد دارند، زیرا وابسته به برخی عوامل هواشناسی آن مکان هستند و ضرایب مدل برای همان مکان به دست آمده است(پوردیهیمی و وفائی، ۱۳۹۴: ۲۲). تابش کل اندازه‌گیری شده روی سطوح افقی در بعضی از پایگاه‌های داده موجود است و بعضی از مکان‌ها مقادیر ان برآورد گردیده است. اما تابش روی سطح افقی برآورده کلی است و بهتر است این برآورد بر روی سطوح شبیه دار انجام گردد. محققان بسیاری از مدل‌های دیگری برای محاسبه تابش با استفاده از اطلاعات تابش خورشید روی سطوح افقی، تابش روی سطوح با شبیه‌های مختلف نسبت به سطح افق را برآورد نموده

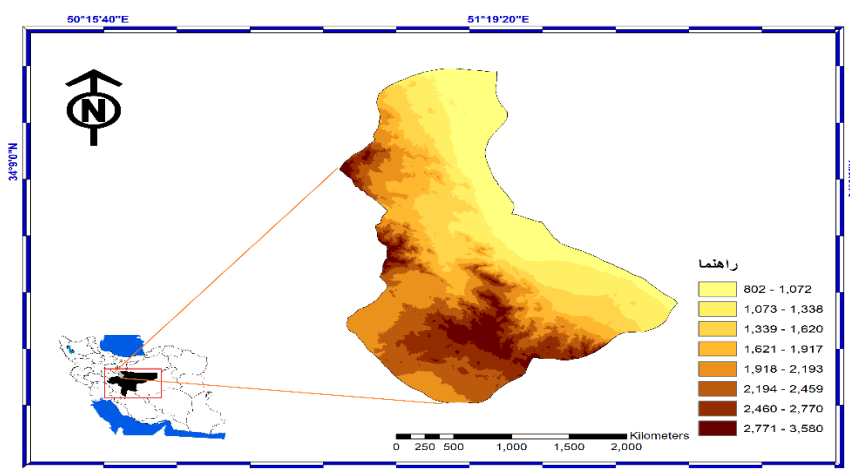
اند از مهمترین این مطالعات لیو جوردن<sup>۲</sup> (۱۹۶۱) است. تحقیق های زیادی به منظور تخمین مقدار تابش دریافتی سطح زمین انجام گردیده، بیشتر تحقیقات صورت گرفته در برآورد هایشان از متغیرهای ساعت آفتابی، دمای هوا، تابش، ساعت آفتابی، میزان ابرناکی بهره گرفته اند (آنگستروم<sup>۳</sup>، ۱۹۲۴؛ هارگراویس<sup>۴</sup> و همکاران، ۱۹۸۵؛ بربیستو و کامپل<sup>۵</sup>، ۱۹۸۴)، باکیرسی<sup>۶</sup> (۲۰۰۹) هفت مدل تجربی را به منظور برآورد میانگین ماهانه تابش روزانه در ترکیه استفاده کرد. تنها پارامتر مورد استفاده در این مدلها، مدت نسبی طول روز است. ایشان نشان داد بر اساس معیارهای مختلف خطا، هر کدام از مدلها برای یک منطقه خاص در برآورد تابش خورشیدی مناسب می باشد. رحمان و مهندس<sup>۷</sup> (۲۰۰۸) در بررسی به تخمین مقدار  $Rs$  در ناحیه ایی از عربستان سعودی پرداخته اند آنان از ترکیبات مختلف پارامترهای رطوبت نسبی، دمای هوا و شماره روز ژولیوسی به عنوان ورودی در شبکه عصبی استفاده نمودند. نتایج این پژوهش نشان داد که شبکه MLP قادر است با استفاده از پارامترهای رطوبت و دما، مقدار  $Rs$  این منطقه را با دقت خوبی برآورد نماید. علیزاده و خلیلی<sup>۸</sup> (۲۰۰۹) در پژوهشی با استفاده از داده های اندازه گیری شده روزانه  $Rs$  در سال های ۱۳۷۸ تا ۱۳۸۰ معادله انگستروم- پرسکات را برای ایستگاه سینوپتیک مشهد واسنجی نمودند و همچنین یک معادله رگرسیونی منطقه ای را با در نظر گرفتن عوامل مختلف هواشناسی ارائه نمودند. سپس با استفاده از داده های سالهای ۱۳۸۱ و ۱۳۸۲ دو مدل ایجاد شده را اعتبارسنجی کردند. نتایج این پژوهش نشان داد که دو مدل دارای اختلاف معنی داری نبوده و میتوان با استفاده از ضرایب واسنجی شده معادله انگستروم- پرسکات،  $Rs$  را با دقت مناسبی تخمین زد. گیمارد<sup>۹</sup> (۲۰۱۱) پژوهشی جامع بر اساس هجده مدل تابش خورشیدی در سال های ۱۹۷۲ تا ۲۰۰۸ میلادی انجام داد، نتایج حاصل از مدل ها را با اطلاعات جمع آوری شده از پنج ایستگاه تشعشع سنجی با شرایط آب و هوایی متفاوت مقایسه کرده است. المورکس و همکاران<sup>۱۰</sup> (۲۰۱۱) هفت مدل برآورد تابش جهانی روزانه را مورد ارزیابی قرار دادند و در نهایت یک مدل جدید را برای مادرید (اسپانیا) توسعه دادند، فرجی مهیاری و همکاران<sup>(۱۱)</sup> (۱۳۹۴) به ارزیابی مدل های تجربی برآورد تابش خورشیدی روزانه بر پایه دمای هوا در چهار منطقه آب و هوایی ایران پرداخته اند. هدف از این مطالعه ارزیابی عملکرد پنج مدل تجربی تخمین میزان تابش خورشیدی روزانه بر اساس تفاوت بین دمای حداکثر و حداقل (مدل های بربیستو- کمپل، هارگریوز، سامانی، لی و چن) است نتایج این پژوهش نشان داد این مدل ها دارای دقت بیشتری در مناطق خشک نسبت به مناطق مرطب است. بنابراین استفاده از این مدل ها برای تخمین تابش خورشیدی روزانه در مناطق خشک ایران که تنها داده های دمای هوا در دسترس می باشد، توصیه می

<sup>2</sup> Jordan<sup>3</sup> Angstrom<sup>4</sup> Hargreaves et al.,<sup>5</sup> Bristow and Campbell<sup>6</sup> Bakirci<sup>7</sup> Rehman & Mohandes<sup>8</sup> Alizad & Khalili<sup>9</sup> Gueymard<sup>10</sup> Almorox et al.,

شود. با توجه به آن که در هر ساعت از روز، میزان قابل توجهی انرژی از خورشید به زمین می‌رسد بنابراین لزوم استفاده از این انرژی به جای استفاده از سوخت‌های فسیلی ارجحیت دارد. در پژوهش حاضر میزان دریافت شدت تابش بر سطوح کلکتور در آزمیوت‌های مختلف مورد بررسی قرار گرفت تا بهترین جهت برای نصب کلکتور‌های خورشیدی در شهرستان کاشان مشخص گردد.

#### منطقه مورد مطالعه

کاشان با مساحت ۲۱۰۰ هکتار در ناحیه مرکزی ایران قرار گرفته است که از یک سو پشت به کوهستان و از سوی دیگر روی به دشت کویر دارد. ارتفاع آن از سطح دریا ۹۴۵ متر بوده و دارای مختصات جغرافیایی ۵۱ درجه و ۲۷ دقیقه طول شرقی و ۳۳ درجه و ۵۹ دقیقه عرض شمالی می‌باشد. با توجه به دشتی و مسطح بودن این شهرستان مناطق مستعد نصب کلکتور‌های خورشیدی را داراست، بنابراین لازم است موقعیت قرارگیری و زاویه شبکه کلکتورها و سطوح خورشیدی در این شهرستان بگونه‌ای تنظیم شود که بیشترین شار تشعشع خورشیدی در بهترین زاویه به صفات خورشیدی برسد، نقشه موقعیت نسبی و ارتفاعی شهرستان کاشان در شکل (۱) نشان داده شده است.



شکل (۱) موقعیت نسبی و ارتفاعی شهرستان کاشان

#### روش تحقیق

امروزه با افزایش روز افزوون جمعیت جهان، محدودیت منابع انرژی و اثرات سوء زیست محیطی حاصل از مصرف بی‌رویه سوخت‌های فسیلی، توجه جهانیان متوجه استفاده از انواع انرژی‌های تجدیدپذیر گردیده است (سعیدی، ۱۳۸۴: ۱). در فناوری سلول‌های خورشیدی کاهش هزینه و افزایش بازده توجه عمده محققان را به خود اختصاص داده است از کلکتور‌های متمرکز کننده برای دستیابی به حرارت‌های بالا استفاده می‌شود. به علت شکل هندسی خاص این کلکتور‌ها که معمولاً سهموی انتخاب می‌شود تابش خورشید در کانون این کلکتور‌ها متمرکز می‌شود. این کلکتور‌ها حتماً باید مجهز به سیستم ردیاب خورشیدی باشند. ارباب

۱۱۱۶: ۲۰۰۹). کلکتورهای متمرکز کننده برای دستیابی به حرارت بالا در کانون باید قادر به ردیابی خورشید باشند. تابشی که به سطح کلکتور می‌رسد ترکیبی از تابش‌های مستقیم، تابش پراکنده، تابش انعکاسی است.

در بررسی پیشینه مدل‌های ارائه شده برای محاسبه تابش خورشیدی، روابط گوناگونی ارائه شده است رابطه‌ی خطی آنگستروم، تابش کلی روزانه روی سطح افقی را ارائه می‌کند. در این مدل، که براساس رابطه رگرسیون خطی ساده است میزان تابش خورشیدی دریافتی روی سطح افقی با استفاده از ساعت‌آفتابی محاسبه می‌شود، پرسکات در ۱۹۴۰ این مدل را اصلاح کرد و مدل آنگستروم پرسکات، به صورت رابطه (۱) ارائه شد.

$$\frac{H}{H_0} = a + b\left(\frac{n}{N}\right) \quad (1)$$

در این رابطه (۱)  $H$ : تابش کلی روزانه روی سطح افقی در سطح زمین ( $MJ/M^2$ )،  $H_0$ : تابش کلی روزانه بیرون از جو روی سطح افقی،  $a$ : ضرایب رگرسیون،  $b$ : حداکثر تعداد ساعت‌آفتابی ممکن روزانه (طول روز)، مقدار  $n$  با اندازه گیری مستقیم و مقدار  $N$  از روابط متعدد کروی بر حسب تاریخ و عرض جغرافیایی به دست می‌آید. در این رابطه بلک و همکاران<sup>۱۱</sup> (۱۹۵۴) با آنالیز مقدار  $H_0$  و ساعت‌آفتابی  $n$  اندازه گیری شده برای ۳۲ ایستگاه هواشناسی در مناطق مختلف دنیا رابطه (۲) را برای عرض‌های جغرافیایی بین ۳۰ درجه جنوبی و ۶۰ درجه شمالی بدست آوردند:

$$\frac{H}{H_0} = 0.23 + 0.48\left(\frac{n}{N}\right) \quad (2)$$

سپس به این نتیجه رسیدند که ضریب  $b$  در این محدوده جغرافیایی دارای تغییرات جزئی هست. در حالی که نوسانات  $a$  نسبتاً زیاد است بعد از آن در پژوهشی گلاورومک کلاک<sup>۱۲</sup> (۱۹۵۸) پیشنهاد کردند که در کارهای عملی برای این محدوده مقدار  $b$  برابر ۰,۵۲ در نظر گرفته شود و ضریب  $a$  نیز برابر  $0,29 \cos \Phi$  اختیار شود. به صورت رابطه (۳):

$$\frac{H}{H_0} = 0.29 \cos \Phi + 0.52\left(\frac{n}{N}\right) \quad (3)$$

آنان بیان نمودند ضریب  $a$  به ارتفاع از سطح دریا بستگی دارد به دلیل تاثیر گذاری کم آن در نظر نگرفته شده است. بنсон<sup>۱۳</sup> و همکاران (۱۹۸۴) دو فصل پاییز و زمستان در یک گروه و فصول بهار و تابستان را در گروه دیگری قرار داده و روابط (۴) و (۵) را بدست آورده‌اند:

$$\frac{H}{H_0} = 0.18 \Phi + 0.62\left(\frac{n}{N}\right) \quad (4)$$

پاییز و زمستان

<sup>11</sup> Black et al.,

<sup>12</sup> Glover J., Mc Culloch

<sup>13</sup> Benson et al.,

$$\frac{H}{H_0} = 0.42 + 0.35 \left( \frac{n}{N} \right) \quad \text{بهار و تابستان} \quad \text{رابطه (۵)}$$

با استفاده از عرض جغرافیایی، زاویه انحراف خورشید، زاویه ارتفاع خورشید، زاویه ساعتی و آزمیوت می‌توان موقعیت خورشید را در ایام مختلف سال مشخص نمود؛ زمین در یک ساعت ۲۴ بار حول محور خود دوران دارد به عبارتی زمین هر ساعت یک زاویه ۱۵ درجه طول جغرافیایی را طی می‌نماید بنابراین از رابطه (۶) این زاویه محاسبه می‌گردد. (میرز، ۱۳۱۰<sup>۱۴</sup>).

$$h = 15^\circ \times (12 - t) \quad \text{رابطه (۶)}$$

؛ ساعت مورد محاسبه

زاویه انحراف خورشید یا مدار میل از رابطه کوپر (رابطه ۷) محاسبه می‌شود. زاویه ساعت برای طلوع و غروب خورشید از رابطه (۹) بدست می‌آید. طول روز عبارت است از: فاصله زمانی بین طلوع و غروب آفتاب. طول روز نسبت به ظهر خورشیدی قرینه است و در زمین در هر ساعت ۱۵ درجه حول محور خود حرکت می‌کند (حجازی و کربلایی، ۱۳۹۵: ۴۳). موقعیت خورشید در هر لحظه از روز با استفاده از زاویه ارتفاع و زاویه آزمیوت تعیین می‌شود که زاویه ارتفاع خورشید (زاویه بین اشعة خورشید و سطح افق) و زاویه آزمیوت خورشید از رابطه (۱۱) و (۱۰) به دست می‌آیند، جهت محاسبه زاویه آزمیوت می‌بایست دقت گردد اگر  $SIN \propto$  کمتر از صفر باشد مقدار نادیده گرفته می‌شود و اگر بیشتر از صفر باشد مقدار مورد محاسبه قرار می‌گیرد. در بهار و تابستان مقدار زاویه خورشید بیشتر از ۹۰ درجه از سمت جنوب خواهد بود لذا می‌بایست شرطی مورد استفاده قرار گیرد رابطه (۱۲).

$$\delta = 23.45 \sin \left[ \frac{360}{365} (n - 81) \right] \quad \text{رابطه (۷)}$$

$$\omega_s = \cos^{-1}(-\tan \theta \tan \delta) \quad \text{رابطه (۸)}$$

$$T_d = \frac{\gamma}{15} \cos^{-1}(-\tan \delta \times \tan \theta) \quad \text{رابطه (۹)}$$

$$SIN \propto = (\cos \theta \times \cos \delta \times \cos h) + (\sin \theta \times \sin \delta) \quad \text{رابطه (۱۰)}$$

$$\sin \varphi_s = \sin^{-1} \frac{\cos \delta \times \sin h}{\cos \propto} \quad \text{رابطه (۱۱)}$$

در رابطه (۷)  $n$  مجموع روزها از اول ژانویه تا روز مورد نظر و  $\delta$  مدار میل خورشید است،  $\omega_s$  زاویه ساعتی خورشید  $SIN \propto$  : زاویه تابش یا ارتفاع تابش،  $\theta$  : عرض جغرافیایی،  $h$  : فاصله زاویه ای زمان مورد نظر نسبت به ظهر،  $\varphi_s$  : زاویه سمت خورشید

$$\begin{aligned} \text{بنابر این } | \varphi_s | \leq 90^\circ & \text{ در غیر} \\ \text{اینصورت } | \varphi_s | \geq 90^\circ & \text{ باشد } \cos H \geq \frac{\tan \delta}{\tan L} \end{aligned} \quad \text{رابطه (۱۲)}$$

<sup>۱۴</sup> Myers

تابش مستقیم خورشید روی سطح زمین ( $I_B$ ) در یک محل، بخشی از اشعه تابشی می باشد که بر یک سطح عمود بر اشعه خورشید می رسد با استفاده از رابطه (۱۳) برآورد می گردد، در رابطه (۱۳) انرژی حاصل از تابش خورشید در جو (A)، از رابطه (۱۴) و عمق تابش در جو (K)، از رابطه (۱۵) محاسبه می گردد (ASHRAE, 2013). مقدار نسبت جرمی هوا (m) از رابطه (۱۶) بدست می آید.

$$I_B = Ae^{-km} \quad \text{رابطه (۱۳)}$$

$$A = 1160 + 75\sin\left[\frac{360}{365}(n - 275)\right](W/m^2) \quad \text{رابطه (۱۴)}$$

$$k = 0.174 + 0.035\sin\left[\frac{360}{365}(n - 100)\right] \quad \text{رابطه (۱۵)}$$

$$m = \frac{1}{\sin \alpha} \quad \text{رابطه (۱۶)}$$

وقتی انرژی خورشیدی به سطح پنل خورشیدی برخورد می کند، سطح پنل مقدار تابشی را جذب می کند (IBC) که از طریق رابطه (۱۷) برآورد می گردد. مقدار  $\theta$  در رابطه (۱۷) زاویه بین بردار عمود بر صفحه پنل فتوولتاییک و تابش مستقیم خورشید است به عبارت دیگر تابعی است از جهت پنل فتوولتاییک و زاویه ارتفاع وزاویه آزیموت خورشید در هر زمان خاص که از رابطه (۱۸) برآورد می گردد (Threlkeld & Jordan, 1958).

$$I_{BC} = I_B \cos \theta \quad \text{رابطه (۱۷)}$$

$$\cos \theta = \cos \alpha \cos(\theta_s - \theta_p) \sin \Sigma + \sin \alpha \cos \Sigma \quad \text{رابطه (۱۸)}$$

در رابطه (۱۸) آزیموت خورشید برابر  $\theta$ ، آزیموت پنل برابر  $\theta$  زاویه بین پنل با افق یا شبی آن نسبت به افق  $\Sigma$  می باشد. برآورد تابش پراکنده نسبت به تابش مستقیم کمی سخت تر است، تابش ورودی بر اثر برخورد با ذرات معلق جو، آثروسل ها، بخار آب موجود در آسمان، ابر ها و... پراکنده می شود، بخشی از آن به آسمان برگشته و بخشی پراکنده شده و به زمین می رسد، تابش پراکنده از رابطه (۱۹) برآورد می گردد که عبارت است از تابش پراکنده ای از خورشید روی یک سطح افقی را نسبت به تابش مستقیم گویند. در رابطه (۱۹) ضریب پراکنده جو (C) از رابطه (۲۰) محاسبه می گردد، با توجه به تابش پراکنده خورشید به سطح زمین ( $I_{DH}$ )، انرژی که پنل از تابش پراکنده خورشید بدست می اورد از رابطه (۲۱) برآورد می گردد، به عبارت دیگر وقتی زاویه شبی پنل صفر باشد، تابش کل آسمان به سطح پنل برخورد می کند، اما زمانی که کلکتور با زاویه  $90^\circ$  درجه نسبت به سطح افق قرار بگیرد، نیمی از تابش پراکنده را دریافت می کند. انرژی که پنل از تابش انعکاسی خورشید بدست می آورد بر اساس رابطه (۲۲) محاسبه می شود، محدوده مقادیر بازتاب زمین از حدود  $0^\circ$ ،  $90^\circ$  برای برف تازه تا حدود  $1^\circ$ ،  $0^\circ$  برای یک سطح آسفالت و مقدار پیشفرض معمول برای زمین یا چمن تا حدود  $2^\circ$  است (گیلبرت، ۲۰۰۴) در نهایت با مجموع تابش مستقیم و پراکنده و انعکاسی تابش کل خورشید روی سطح کلکتور از رابطه (۲۳) بدست می آید.

$$I_{DH} = CI_B \quad \text{رابطه (۱۹)}$$

$$c = 0.095 + 0.04 \sin \left[ \frac{360}{365} (n - 100) \right] \quad (20)$$

$$I_{DP} = I_{DH} \left( \frac{1 + \cos \Sigma}{2} \right) = I_B C \left( \frac{1 - \cos \Sigma}{2} \right) \quad (21)$$

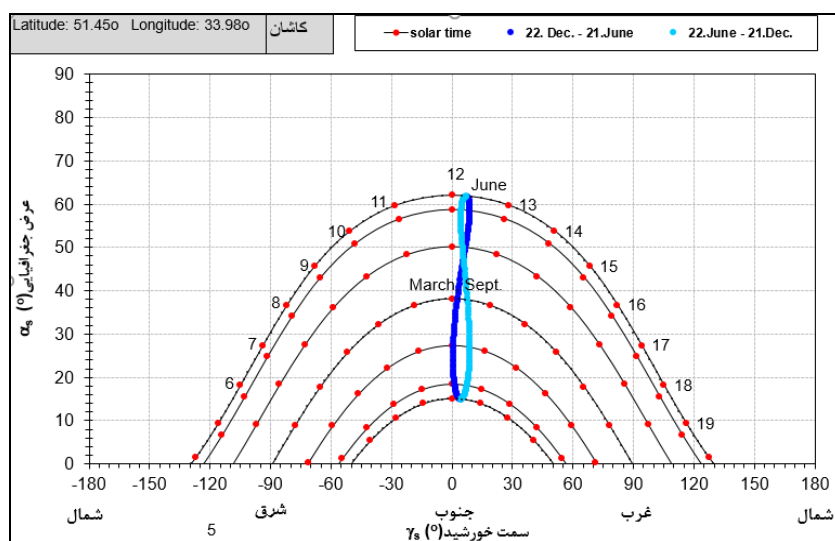
$$I_{RC} = \rho I_B (\sin \alpha + C) \left( \frac{1 - \cos \Sigma}{2} \right) \quad (22)$$

$$I_C = I_{BC} + I_{DC} + I_{RC} \quad (23)$$

در رابطه (۲۲)  $\rho$  ضریب انعکاسی است.

## نتایج

برای اهداف کاربردی، به جای استفاده از معادلات پیچیده بهتر است مسیر خورشید بر روی صفحه افقی رسم شود، که این ترسیم، دیاگرام مسیر خورشید نامیده می‌شود. این نمودارها تغییرات کامل زاویه ساعتی و زاویه انحراف را برای یک سال کامل نشان می‌دهد. شکل (۲) نمودار مسیر حرکت خورشید شهرستان کاشان است که برای تخمین سمت خورشید و ارتفاع خورشیدی در ماه‌های مختلف سال از این نمودار بهره گرفته می‌شود. مسیر حرکت خورشید از ۲۰ دسامبر تا ۲۱ ژوئن با رنگ آبی پر رنگ و از ۲۲ ژوئن تا ۲۱ دسامبر با آبی کمرنگ نمایش داده شده است.



شکل (۲) نمودار مسیر حرکت خورشید در شهرستان کاشان

در جدول (۱) نتایج پارامترهای مختلف موثر بر تابش به صورت ماهانه نشان داده شده است، برای هر روز میانگین روزهای مختلف ماه در نظر گرفته شده است،  $HSR$  بیانگر زاویه ساعت برای طلوع و غروب خورشید

است که در تابستان این زاویه به بالاترین مقدار خود می‌رسد، خورشید در زمستان در نیمکره جنوبی قرار دارد لذا ارتفاع خورشید در زمستان کم است و قطبی خورشید در نیمکره شمالی قرار بگیرد ارتفاع خورشید افزایش یافته و تابش شدید تری نسبت به فصل زمستان خواهد داشت. مقادیر A انرژی حاصل از تابش خورشید در جو می‌باشد اگر دقت گردد مقادیر در فصل زمستان بیشتر بوده و نشان از آن است که خورشید با تابش به صورت مایل به دلیل قرار گرفتن در نیمکره جنوبی انرژی بیشتری را وارد جو می‌کند، مقدار K عمق تابش در جو را نشان می‌دهد که در فصل تابستان مقدار آن بیشتر از فصل زمستان می‌باشد.

جدول (۱) نتایج محاسبات بدست آمده از پارامتر های مختلف موثر بر تابش به صورت ماهانه در شهرستان کاشان (کیلو وات بر متر مربع)

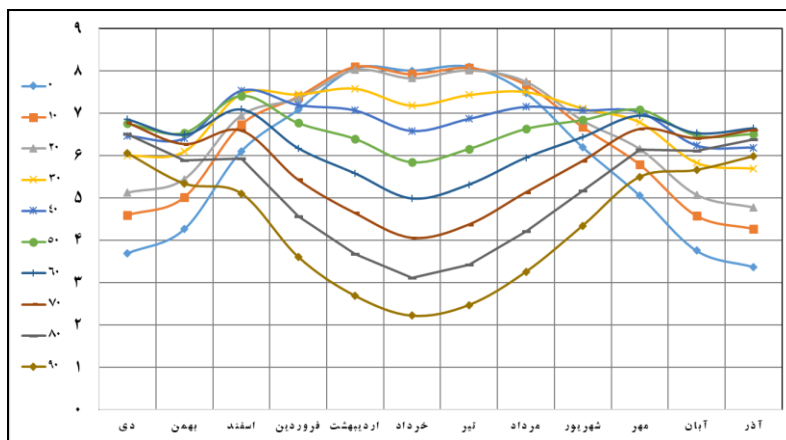
month	day	HSR	N	MEDAR MIL	$\sin \beta$	A	K
دی	۱۶	75.11	10.01	-20.85	0.21	1019.28	0.12
بهمن	۴۶	80.79	10.77	-13.33	0.26	905.34	0.11
اسفند	۷۵	88.38	11.78	-2.39	0.38	976.11	0.13
فروردین	۱۰۶	96.50	12.87	9.49	0.45	913.89	0.14
اردیبهشت	۱۳۶	103.29	13.77	18.81	0.53	916.28	0.16
خرداد	۱۶۷	106.69	14.23	23.08	0.53	870.37	0.16
تیر	۱۹۷	105.09	14.01	21.10	0.54	898.33	0.17
مرداد	۲۲۸	99.20	13.23	13.30	0.49	913.66	0.17
شهرپور	۲۵۹	91.35	12.18	1.99	0.40	910.44	0.15
مهر	۲۸۹	83.25	11.10	-9.85	0.31	972.56	0.14
آبان	۳۲۰	76.52	10.20	-19.05	0.22	968.14	0.12
آذر	۳۵۰	73.30	9.77	-23.10	0.19	1016.78	0.12

در جدول (۲) مقادیر برآورده شده دریافت تابش کل خورشید بر سطح کلکتور در شهر کاشان نشان داده شده است، در این جدول شیب پنل از صفر تا ۹۰ درجه به صورت ۱۰ درجه ۱۰ درجه بوده، آزیموت در نظر گرفته شده برای جهت جنوب می‌باشد به صورتی که صفحه پنل به سمت جنوب قرار گرفته است. برای محاسبه تابش مستقیم و پراکنده در نرم افزار اکسل به صورت ساعتی در ۳۶۵ روز سال محاسبه شد، مجموع سه تابش مذکور تابش دریافت شده روی صفحه کلکتور می‌باشد که بر اساس واحد کیلووات ساعت بر متر مربع محاسبه شده است. شیب صفر درجه در تمامی آزیموت‌ها یکسان بوده که بیانگر تابش مستقیم است، میزان تابش دریافتی بر سطح کلکتور در جهت جنوب در شیب‌های مختلف در ۶۴ درصد از موقع سال بیشتر از تابش روی سطح کلکتور جنوب شرق یا غرب با زاویه شیب‌های مختلف است. در صورتی که در آزیموت جنوب شرقی-غربی نسبت به جنوب ۴۴ درصد از ایام سال تابش دریافت می‌دارد. بیشترین میزان تابش در آزیموت رو به جنوب در شیب ۳۰ و ۴۰ درجه می‌باشد.

جدول (۲) تابش روزانه دریافتی بر سطح کلکتور، رو به جنوب (۰ درجه) با شیب های مختلف در شهرستان کاشان (کیلووات بر متر مربع)

شیب (درجه)	ماه	شیب (۰ درجه)									
		۰	۱۰	۲۰	۳۰	۴۰	۵۰	۶۰	۷۰	۸۰	۹۰
شیب (۰ درجه)	دی	3.70	3.65	3.10	3.45	3.33	3.17	3.00	2.79	2.57	2.30
	بهمن	4.26	4.22	3.64	3.97	3.82	3.61	3.41	3.15	2.90	2.59
	اسفند	6.10	6.03	5.36	5.65	5.38	5.08	4.75	4.36	3.98	3.54
	فروردین	7.08	7.15	6.02	6.82	6.53	6.19	5.77	5.33	4.86	4.34
	اردیبهشت	8.06	8.42	8.64	8.50	8.25	7.86	7.39	6.87	6.27	5.61
	خرداد	8.01	8.45	8.86	8.69	8.48	8.07	7.59	7.03	6.40	5.71
	تیر	8.10	8.53	8.92	8.74	8.52	8.12	7.63	7.09	6.46	5.77
	مرداد	7.48	7.63	7.62	7.39	7.10	6.73	6.28	5.83	5.31	4.75
	شهریور	6.20	6.13	5.60	5.71	5.42	5.10	4.73	4.34	3.94	3.49
	مهر	5.06	5.01	4.35	4.71	4.50	4.25	4.00	3.67	3.37	3.00
	آبان	3.76	3.71	3.17	3.49	3.36	3.19	3.01	2.78	2.56	2.29
	آذر	3.37	3.33	2.81	3.17	3.06	2.93	2.77	2.59	2.39	2.14

تابش دریافتی خورشید در شیب ها و ماه های مختلف در آذیمومت جنوب بر روی شکل (۳) نشان داده شده است، مقادیر میانگین روزهای هر ماه می باشد، چنانچه کلکتور با شیب ۹۰ درجه به سمت جنوب قرار گیرد در فصل تابستان از اوایل اسفند تا اواخر شهریور کمترین مقدار شدت تابش را دریافت خواهد کرد. نمودار شدت تابش هر چه در ماه های مختلف به صورت یکنواخت (موازی) باشد نشان از مناسب بودن شیب مورد نظر جهت نصب کلکتور است. شیب های ۳۰ تا ۴۰ درجه در اکثر ماه ها، تابشی بالاتر از ۷ کیلووات بر متر مربع می باشد. در ماه های گرم سطوح باشیب کمتر نسبت به افق از نظر دریافت تابش خورشید وضعیت بهتری نسبت به شیب های بالاتر از آن خواهد داشت و بر عکس آن ماه های سرد سال با شیب های ۳۰ تا ۹۰ درجه تابش بیشتری دریافت خواهد نمود.



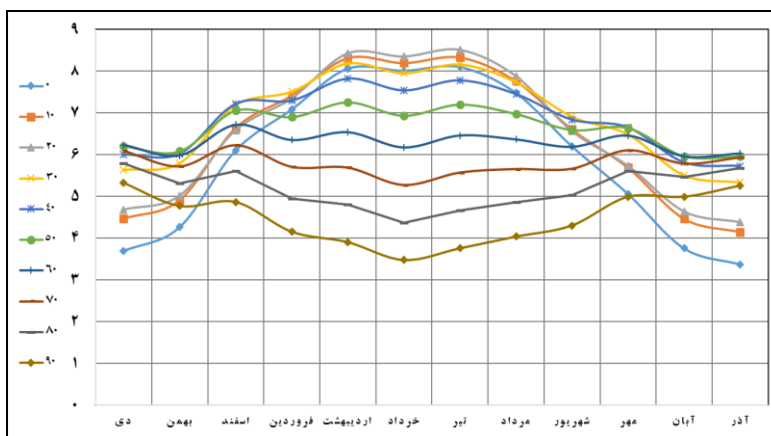
شکل (۳) شدت تابش روزانه روی سطوح رو به جنوب در شیب های مختلف در شهرستان کاشان

در جدول (۳) تابش دریافتی از خورشید بر سطح کلکتور در آزیموت جنوب شرقی-غربی (آزیموت ۳۰) نسبت به جنوب نشان داده شده است. این آزیموت تقریباً شبیه به جنوب بوده و تنها در جهت های جنوب شرقی-غربی در فصل تابستان شب های نزدیک به قائم تابش بیشتری نسبت به جنوب دریافت می دارند. بالاترین مقدار تابش دریافتی بر سطح کلکتور در آزیموت جنوب شرقی-غربی (۳۰) مربوط به شب های ۳۰ و ۴۰ درجه است.

جدول (۳) تابش روزانه دریافتی بر سطح کلکتور، روبه جنوب شرقی-غربی (۳۰ درجه) با شب های مختلف در شهرستان کاشان (کیلو وات بر متر مربع)

شدت تابش (آزیموت شرق و غرب (۳۰))	ماه	شب (به درجه)									
		۰	۱۰	۲۰	۳۰	۴۰	۵۰	۶۰	۷۰	۸۰	۹۰
دی	۳.۷۰	۴.۴۷	۴.۶۸	۵.۶۴	۶.۰۰	۶.۲۰	۶.۲۳	۶.۰۹	۵.۷۹	۵.۳۳	
بهمن	۴.۲۶	۴.۹۱	۵.۰۱	۵.۸۰	۶.۰۲	۶.۰۸	۵.۹۸	۵.۷۲	۵.۳۱	۴.۷۷	
اسفند	۶.۱۰	۶.۶۴	۶.۵۹	۷.۱۹	۷.۲۲	۷.۰۶	۶.۷۲	۶.۲۳	۵.۶۱	۴.۸۷	
فروریدن	۷.۰۸	۷.۴۲	۷.۳۵	۷.۵۱	۷.۳۰	۶.۹۰	۶.۳۵	۵.۷۱	۴.۹۵	۴.۱۵	
اردیبهشت	۸.۰۶	۸.۳۱	۸.۴۳	۸.۱۹	۷.۸۲	۷.۲۶	۶.۵۴	۵.۶۹	۴.۸۱	۳.۹۰	
خرداد	۸.۰۱	۸.۲۰	۸.۳۵	۷.۹۶	۷.۵۴	۶.۹۴	۶.۱۷	۵.۲۸	۴.۳۷	۳.۴۸	
تیر	۸.۱۰	۸.۳۳	۸.۵۱	۸.۱۷	۷.۷۸	۷.۲۱	۶.۴۶	۵.۵۷	۴.۶۷	۳.۷۶	
مرداد	۷.۴۸	۷.۷۶	۷.۸۸	۷.۷۵	۷.۴۶	۶.۹۸	۶.۳۷	۵.۶۶	۴.۸۶	۴.۰۴	
شهریور	۶.۲۰	۶.۶۱	۶.۵۵	۶.۹۱	۶.۸۴	۶.۵۹	۶.۱۹	۵.۶۶	۵.۰۳	۴.۳۰	
مهر	۵.۰۶	۵.۶۰	۵.۷۳	۶.۴۹	۶.۶۵	۶.۶۴	۶.۴۶	۶.۱۱	۵.۶۱	۴.۹۹	
آبان	۳.۷۶	۴.۴۶	۴.۶۴	۵.۵۱	۵.۸۱	۵.۹۷	۵.۹۶	۵.۷۹	۵.۴۶	۴.۹۹	
آذر	۳.۳۷	۴.۱۴	۴.۳۸	۵.۳۴	۵.۷۳	۵.۹۶	۶.۰۳	۵.۹۳	۵.۶۷	۵.۲۶	

در شکل (۴) تابش دریافتی بر سطح کلکتور در شب های مختلف در آزیموت ۳۰ درجه نشان داده شده، هرچه از آزیموت جنوب به سمت شرق و غرب پیش روی شود، تغییرات محسوس تری در دریافت تابش بر سطح کلکتور مشاهده خواهد شد، بر اساس شکل (۴) شب های ۹۰ تا ۴۰ درجه یکنواخت بوده و شب های کمتر از ۴۰ درجه در فصل تابستان، بیشترین میزان دریافتی را دارند.

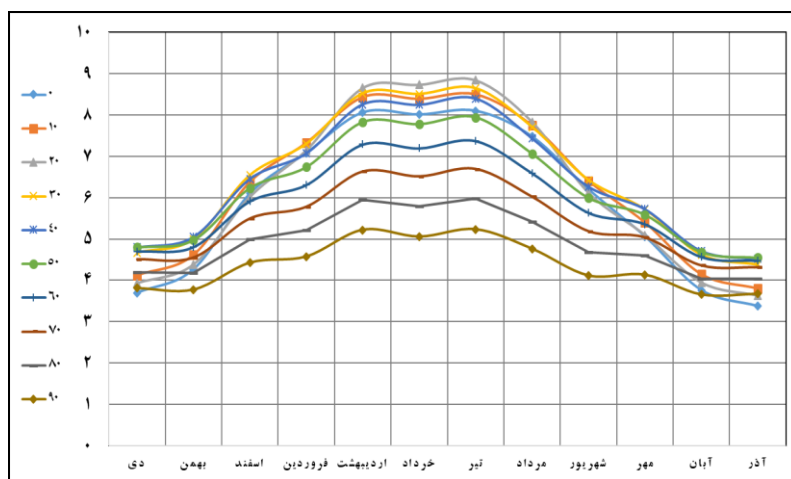


شکل (۴) شدت تابش روزانه روی سطوح روبه جنوب شرقی-غربی (۳۰ درجه) در شب های مختلف در شهرستان کاشان

شدت تابش دریافتی در آزمیوت جنوب شرقی-غربی (۶۰ درجه) در شیب و ماه های مختلف در جدول (۴) نشان داده شده است، چنانچه کلکتور با شیب ۹۰ درجه به سمت جنوب شرقی-غربی (آزمیوت ۶۰ درجه نسبت به جنوب) قرار گیرد در فصل تابستان نسبت به فصل زمستان تابش دریافتی بیشتری خواهد داشت، میزان تابش دریافتی بر سطح کلکتور در جهت جنوب شرقی-غربی (آزمیوت ۶۰ درجه) در شیب های مختلف در ۸۷ درصد از مواقع سال بیشتر از تابش روی سطح کلکتور شرق یا غرب (آزمیوت ۹۰ درجه) با زاویه شیب های مختلف است. شکل(۵) شدت تابش در سطوح مختلف به طور روزانه ترسیم شده است و بیانگر آن است که شدت تابش در ماه های مختلف یکنواخت تر شده است.

جدول (۴) تابش روزانه دریافتی بر سطح کلکتور، رو به جنوب شرقی-غربی (۶۰ درجه) با شیب های مختلف در شهرستان کاشان (کیلو وات بر متر مربع)

شیدت تابش (آزمیوت شرق و غرب (۶۰))	شیب (به درجه)									
	۰	۱۰	۲۰	۳۰	۴۰	۵۰	۶۰	۷۰	۸۰	۹۰
دی	۳.۷۰	۴.۱۲	۳.۹۳	۴.۶۷	۴.۸۰	۴.۸۰	۴.۷۰	۴.۵۱	۴.۲۰	۳.۸۱
بهمن	۴.۲۶	۴.۶۲	۴.۳۸	۵.۰۰	۵.۰۵	۴.۹۸	۴.۸۱	۴.۵۵	۴.۱۸	۳.۷۸
اسفند	۶.۱۰	۶.۳۸	۶.۰۲	۶.۵۴	۶.۴۶	۶.۲۴	۵.۹۱	۵.۴۹	۴.۹۹	۴.۴۳
فروردین	۷.۰۸	۷.۳۳	۷.۱۵	۷.۳۰	۷.۰۷	۶.۷۴	۶.۳۱	۵.۷۸	۵.۲۱	۴.۵۸
اردیبهشت	۸.۰۶	۸.۴۳	۸.۶۶	۸.۵۲	۸.۲۶	۷.۸۳	۷.۲۹	۶.۶۳	۵.۹۵	۵.۲۲
خرداد	۸.۰۱	۸.۳۹	۸.۷۳	۸.۵۱	۸.۲۵	۷.۷۸	۷.۲۰	۶.۵۱	۵.۸۰	۵.۰۶
تیر	۸.۱۰	۸.۵۰	۸.۸۴	۸.۶۴	۸.۴۰	۷.۹۵	۷.۳۷	۶.۶۹	۵.۹۸	۵.۲۳
مرداد	۷.۴۸	۷.۷۵	۷.۸۳	۷.۷۱	۷.۴۴	۷.۰۷	۶.۵۹	۶.۰۲	۵.۴۲	۴.۷۶
شهریور	۶.۲۰	۶.۴۱	۶.۱۲	۶.۴۳	۶.۲۷	۶.۰۰	۵.۶۴	۵.۱۹	۴.۶۸	۴.۱۲
مهر	۵.۰۶	۵.۴۰	۵.۰۹	۵.۷۱	۵.۷۲	۵.۵۹	۵.۳۶	۵.۰۴	۴.۶۰	۴.۱۴
آبان	۳.۷۶	۴.۱۵	۳.۹۴	۴.۶۲	۴.۷۱	۴.۶۹	۴.۵۷	۴.۳۶	۴.۰۴	۳.۶۶
آذر	۳.۳۷	۳.۸۰	۳.۶۲	۴.۳۸	۴.۵۲	۴.۵۵	۴.۴۸	۴.۳۲	۴.۰۴	۳.۶۷

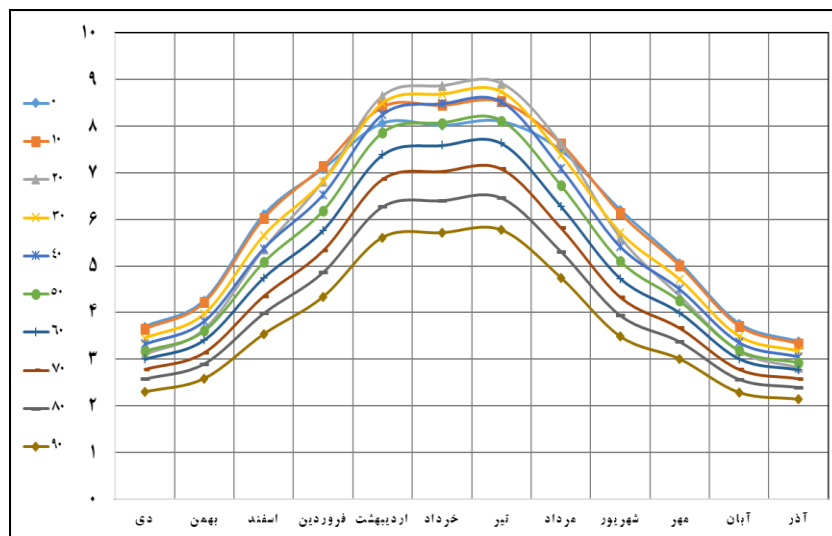


شکل(۵) شدت تابش روزانه روی سطوح رو به جنوب شرقی-غربی (۶۰۰ درجه) در شیب های مختلف در شهرستان کاشان

جدول (۵) تابش دریافتی روی سطوح رو به شرق یا غرب با شیب های مختلف را نشان می دهد. شدت تابش در سطوح رو به شرق و غرب با چرخشی در حدود  $90^{\circ}$  درجه،  $23^{\circ}$  درصد بیشتر از سطوح رو به جنوب شرق و غرب با چرخشی در حدود  $60^{\circ}$  درجه است، با مقایسه جداول مشخص می گردد که هر چه از جنوب به سمت شرق یا غرب پیش روی شود شدت تابش در ایام سال کاهش بیشتری خواهد داشت. طبق شکل (۶) هر چه شیب نسبت به افق کمتر باشد تابش بیشتری را در هر ماه از سال دریافت خواهد کرد. لذا شیب  $90^{\circ}$  درجه کمترین تابش و شیب  $10^{\circ}$  درجه بیشترین تابش را در آزیموت شرق-غرب ( $90^{\circ}$  درجه) دارد.

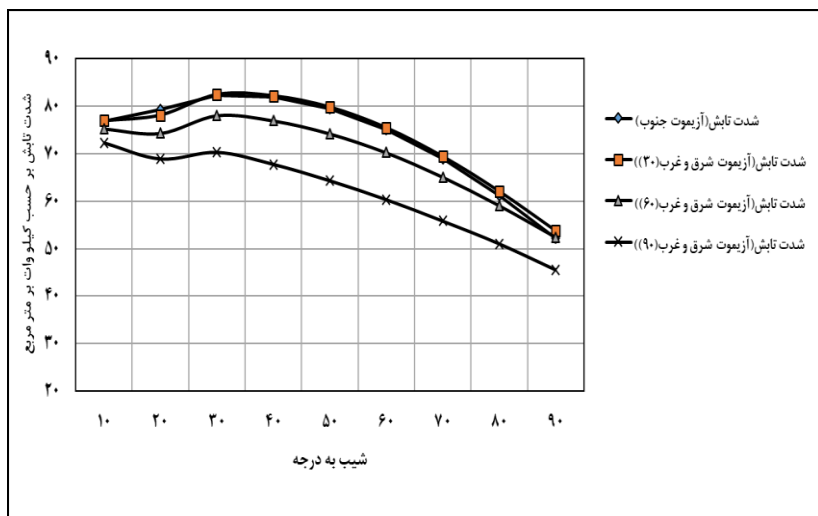
جدول (۵) تابش روزانه دریافتی بر سطح کلکتور، رو به جنوب شرق یا غرب ( $90^{\circ}$  درجه) با شیب های مختلف در شهرستان کاشان (کیلو وات بر متر مربع)

شدت تابش (آزیموت شرق و غرب ( $90^{\circ}$ ))	ماه	شیب (به درجه)									
		۰	۱۰	۲۰	۳۰	۴۰	۵۰	۶۰	۷۰	۸۰	۹۰
دی	۳.۷۰	۳.۶۵	۳.۱۰	۳.۴۵	۳.۳۳	۳.۱۷	۳.۰۰	۲.۷۹	۲.۵۷	۲.۳۰	
بهمن	۴.۲۶	۴.۲۲	۳.۶۴	۳.۹۷	۳.۸۲	۳.۶۱	۳.۴۱	۳.۱۵	۲.۹۰	۲.۵۹	
اسفند	۶.۱۰	۶.۰۳	۵.۳۶	۵.۶۵	۵.۳۸	۵.۰۸	۴.۷۵	۴.۳۶	۳.۹۸	۳.۵۴	
فروردین	۷.۰۸	۷.۱۵	۶.۸۲	۶.۸۲	۶.۵۳	۶.۱۹	۵.۷۷	۵.۳۳	۴.۸۶	۴.۳۴	
اردیبهشت	۸.۰۶	۸.۴۲	۸.۶۴	۸.۵۰	۸.۲۵	۷.۸۶	۷.۳۹	۶.۸۷	۶.۲۷	۵.۶۱	
خرداد	۸.۰۱	۸.۴۵	۸.۶۶	۸.۶۰	۸.۴۸	۸.۰۷	۷.۵۹	۷.۰۳	۶.۴۰	۵.۷۱	
تیر	۸.۱۰	۸.۵۳	۸.۹۲	۸.۷۴	۸.۵۲	۸.۱۲	۷.۶۳	۷.۰۹	۶.۴۶	۵.۷۷	
مرداد	۷.۴۸	۷.۶۳	۷.۶۲	۷.۳۹	۷.۱۰	۶.۷۳	۶.۲۸	۵.۸۳	۵.۳۱	۴.۷۵	
شهریور	۶.۲۰	۶.۱۳	۵.۶۰	۵.۷۱	۵.۴۲	۵.۱۰	۴.۷۳	۴.۳۴	۳.۹۴	۳.۴۹	
مهر	۵.۰۶	۵.۰۱	۴.۳۵	۴.۷۱	۴.۵۰	۴.۲۵	۴.۰۰	۳.۶۷	۳.۳۷	۳.۰۰	
آبان	۳.۷۶	۳.۷۱	۳.۱۷	۳.۴۹	۳.۳۶	۳.۱۹	۳.۰۱	۲.۷۸	۲.۵۶	۲.۲۹	
آذر	۳.۳۷	۳.۳۳	۲.۸۱	۳.۱۷	۳.۰۶	۲.۹۸	۲.۷۷	۲.۵۹	۲.۳۹	۲.۱۴	



شکل (۶) شدت تابش روزانه روی سطوح رو به شرقی یا غربی ( $90^{\circ}$  درجه) در شیب های مختلف در شهرستان کاشان

مجموع تابش دریافتی روزانه در سال از خورشید بر سطح کلکتور با آزیموت‌ها و زوایای شیب مختلف در شکل (۷) نشان داده شده است. نمودار حاکی از آن است بیشترین بازدهی تولید انرژی در شهرستان کاشان در جهت روبه جنوب تا ۳۰ درجه چرخش می‌باشد و همچنین مناسب ترین شیب ۳۰ تا ۴۰ درجه نسبت به سابر شیب‌ها خواهد بود. نامناسب ترین جهت آزیموت ۹۰ درجه یعنی شرق یا غرب بودن کلکتور می‌باشد. لذا هرچه کلکتور‌ها را به سمت شرق یا غرب بچرخانیم در ماه‌های سرد سال شدت تابش کمتری نسبت به جهت جنوب، دریافت خواهند نمود.



شکل (۷). مجموع تابش دریافتی روزانه در سال از خورشید بر سطح کلکتور با آزیموت‌ها و زوایای شیب مختلف شهرستان کاشان (کیلووات بر متر مربع)

### نتیجه گیری

در پژوهش حاضر به برآورد تابش کل خورشید روی سطح کلکتور خورشیدی در شیب‌های مختلف و آزیموت‌های مختلف پرداخته شده است، از مهمترین عواملی که بر کارایی کلکتور‌های خورشیدی و مقدار شدت تابش دریافتی آنها تاثیر دارد زاویه شیب کلکتور نسبت به افق و آزیموت (نسبت به جنوب) است، در این پژوهش به پتانسیل سنگی شیب و آزیموت کلکتور‌ها برای بیشترین بازدهی تولید انرژی پرداخته شده است، با توجه به هزینه بالای سیستم‌های فتوولتایک، بهره گیری از حداکثر راندمان این منابع قدرت، یک ضرورت اساسی و غیر قابل انکار بشمار می‌آید، نتایج حاصل از این پژوهش نشان داد، میزان تابش دریافتی بر سطح کلکتور در جهت جنوب در شیب‌های مختلف در ۶۴ درصد از موقع اسال بیشتر از تابش روی سطح کلکتور جنوب شرق یا غرب با زاویه شیب‌های مختلف است. در صورتی که در آزیموت جنوب شرقی-غربی نسبت به جنوب ۴۴ درصد از ایام سال تابش دریافت می‌دارد، بیشترین میزان تابش در آزیموت رو به جنوب در شیب ۳۰ و ۴۰ درجه می‌باشد، آزیموت جنوب شرقی-غربی (۳۰ درجه) تقریباً شبیه به آزیموت جنوب بوده و تنها در جهت‌های جنوب شرقی-غربی در فصل تابستان شیب‌های نزدیک به قائم تابش بیشتری نسبت به جنوب دریافت

می دارند. میزان تابش دریافتی بر سطح کلکتور در جهت جنوب شرقی-غربی(آزمون ۶۰ درجه) در شب های مختلف در ۸۷ درصد از موقع سال بیشتر از تابش روی سطح کلکتور شرق یا غرب (آزمون ۹۰ درجه) با زاویه شب های مختلف است. شدت تابش در سطوح روبه شرق و غرب با چرخشی در حدود ۹۰ درجه، ۲۳ درصد بیشتر از سطوح روبه جنوب شرق و غرب با چرخشی در حدود ۶۰ درجه است، با مقایسه جداول مشخص می گردد که هر چه از جنوب به سمت شرق یا غرب پیش روی شود شدت تابش در ایام سال کاهش بیشتری خواهد داشت، بیشترین بازدهی تولید انرژی در شهرستان کاشان در جهت روبه جنوب تا ۳۰ درجه چرخش می باشد و همچنین مناسب ترین شب ۳۰ تا ۴۰ درجه نسبت به سا بر شب ها خواهد بود.

#### منابع

- افشار، راحله(۱۳۸۵). انرژی های تجدید پذیر، مجله زمین شناسی، ۲ : ۴۹-۳۵
- حجازی زاده، زهرا؛ کربلایی، علیرضا. (۱۳۹۵). مقدمه ای بر اقلیم آسایش حرارتی و شاخص های آن به همراه نرم افزار **TCIC**، انتشارات آکادمیک و انجمن جغرافیایی ایران.
- سعیدی، پونه. (۱۳۸۴). سیستم های فتوولتائیک، منبع انرژی پاک، چهارمین همایش بین المللی بهینه سازی مصرف سوخت در ساختمان، تهران، سازمان بهینه سازی مصرف سوخت کشور، [https://www.civilica.com/Paper-CECB04-CECB04\\_03.html](https://www.civilica.com/Paper-CECB04-CECB04_03.html)
- سلیمانی ریزی، طبیبه؛ مستاجران گورتانی، بهنام؛ کرمانی القریشی، سیدطاهر (۱۳۹۶) روش های متداول برآورد شدت تابش خورشیدی در سطح افقی زمین. فصلنامه علمی- ترویجی انرژی های تجدیدپذیر و نو، ۱: ۱۶-۲۱
- فرجی مهیاری، خدیجه؛ خانعلی، مجید؛ فرجی مهیاری، زهرا. (۱۳۹۴). ارزیابی مدل های تجربی برآورد تابش خورشیدی روزانه بر پایه دمای هوا در چهار منطقه آب و هوایی ایران. فصلنامه انرژی ایران. ۵۶: ۱۷-۳۶
- معینی، س؛ جوادی، م؛ کوکبی، م؛ دهقان منشادی. (۱۳۸۹). برآورد تابش خورشیدی در ایران با استفاده از یک مدل بهینه، نشریه انرژی ایران، ۱۳، (۲): ۴۱-۵۸
- وفائی، راحیل؛ پوردیهیمی، شهرام. (۱۳۹۴). برآورد تابش کل خورشید روی سطح فتوولتائیکهای یکپارچه با ساختمان، ۲۵(۲): ۳۶-۱۹.

Almorox, J., Hontoria, C., & Benito, M. (2011). Models for obtaining daily global solar radiation with measured air temperature data in Madrid (Spain). *Applied Energy*, 88(5), 1703-1709.

Angstrom, A. (1924). "Solar and Terrestrial Radiation. Report to the International Commission for Solar Research on Actinometric Investigations of Solar and Atmospheric Radiation", in Quarterly Journal of the Royal Meteorological Society. 50: 121-126

Arbab, H., Jazi, B., & Rezagholizadeh, M. (2009). A computer tracking system of solar dish with two-axis degree freedoms based on picture processing of bar shadow. *Renewable Energy*, 34(4), 1114-1118.

Bakirci, K. (2009). Correlations for estimation of daily global solar radiation with hours of bright sunshine in Turkey. *Energy*, 34(4), 485-501.

- Benson, R. B., Paris, M. V., Sherry, J. E., & Justus, C. G. (1984). **Estimation of daily and monthly direct, diffuse and global solar radiation from sunshine duration measurements.** Solar energy, 32(4), 523-535.
- Black, J. N., Bonython, C. W., & Prescott, J. A. (1954). **Solar radiation and the duration of sunshine.** Quarterly Journal of the Royal Meteorological Society, 80(344), 231-235.
- Bristow, K. L., & Campbell, G. S. (1984). **On the relationship between incoming solar radiation and daily maximum and minimum temperature.** Agricultural and forest meteorology, 31(2), 159-166.
- C.A. Gueymard, (2012). **Clear-sky irradiance predictions for solar resource mapping and large-scale applications: Improved validation methodology and detailed performance analysis of 18 broadband radiative models,** Solar Energy, Vol. 86, pp. 2145-۲۱۶۹,
- Glover, J., & McCulloch, J. S. G. (1958). **The empirical relation between solar radiation and hours of sunshine.** Quarterly Journal of the Royal Meteorological Society, 84(360), 172-175.
- Hargreaves, G. H., & Samani, Z. A. (1985). **Reference crop evapotranspiration from temperature.** Applied engineering in agriculture, 1(2), 96-99.
- Liu, B.Y.H. and R.C. Jordan. (1961) “**Daily Insolation on Surfaces Tilted Towards Equator**”, in rans ASHRAE, 67: 526-541
- Masters, G. M. (2013). **Renewable and efficient electric power systems.** John Wiley & Sons.
- Myers, D. R. (2013). **Solar radiation: practical modeling for renewable**
- Threlkeld, J., & Jordan, R. (1958). **Direct radiation available on clear days.** ASHRAE Trans.;(United States), 64.
- Rehman, S., & Mohandes, M. (2008). **Artificial neural network estimation of global solar radiation using air temperature and relative humidity.** Energy Policy, 36(2), 571-576.
- Alizade, A. and Khalili, N. 2009. **Estimation of angstrom coefficient and Developing a regression equation for solar radiation estimation (case study: Mashhad).** Journal of Water and Soil, 23(1): 229-238.